

การออกแบบโครงสร้างเครื่องจักรภายใต้ภาระสถิตที่เหมาะสมที่สุด

Optimum Design of Machine Structure Subjected to Static Loadings

ชุมพล เหลืองบรรจิด, รศ.ดร.ธนู ฉุยชาญและ รศ.ดร.ศิริศักดิ์ หาญชูวงศ์
ศูนย์วิจัยการคำนวนขั้นสูง ภาควิชา วิศวกรรมเครื่องกล สถาบันเทคโนโลยีพระจอมเกล้าฯ พระนครเหนือ
ถนนพิบูลสงคราม เขตดุสิต กรุงเทพ 10800
โทร (02)9132500 ต่อ 8311 โทรสาร (02)5870026 E-mail: tcc@kmitnb.ac.th และ shw@kmitnb.ac.th

Chumpol Luengbunjerd, Thanu Chouychai and Sirisark Hachuwong
Research center for Advanced Computational Engineering , Department of Mechanical Engineering
King Mongkut's Institute of Technology North Bangkok , Piboolsongkram Rd.10800 Thailand
Tel:(662) 9132500 Ext.8311 Fax:(662) 5870026

บทคัดย่อ

งานวิจัยนี้มีวัตถุประสงค์เพื่อ วิเคราะห์โครงสร้างที่เหมาะสมที่สุดของโครงสร้างเครื่องจักรความเร็วสูงโดยวิธีการทางไฟไนต์เอลิเม้นต์ ซึ่งเครื่องจักรมีความเร็วสูงสุดที่ 1 g และวัสดุที่ใช้ในการผลิต คือ อลูมิเนียมผสม ชนิด 7075 T6 ซึ่งเครื่องจักรที่นำมาวิเคราะห์และออกแบบเป็นโครงสร้างที่ซับซ้อน การทดสอบทางคณิตศาสตร์สำหรับโครงสร้างเพื่อทำการอปติไมต์โดยวิธีโดยตรงนั้นทำได้ยาก ต้องใช้การอปติไมต์แบบตัดตอนและคำนวณซ้ำ โดยอาศัยทฤษฎีโมเมนต์ขั้นที่สองของพื้นที่ และผลการทดลองที่ผ่านมา โดยโครงสร้างต้องอยู่ภายใต้เงื่อนไขคือ ระยะระหว่างจั้ดต้องไม่เกิน 10 μm และความเค้นไม่เกินความเค้นสูงสุดที่วัสดุยอมรับได้ เพื่อให้ได้หนักที่น้อยที่สุด และใช้วัสดุในการผลิตเครื่องจักรให้น้อยที่สุด ซึ่งทำให้ผลที่ได้เป็นการออกแบบที่เหมาะสมที่สุด

ผลการคำนวนสรุปได้ว่า โครงสร้างที่แข็งแรงที่สุด คือโครงสร้างแบบสี่เหลี่ยมผืนผ้ามีสันภายในเป็นแนวเที่ยง ความหนาของโครงสร้างหลักและฐานเท่ากัน คือ 25 มิลลิเมตร และมีขอบสันด้านนอกเป็นสันแนววางวามีน้ำหนักรวมของโครงสร้างอยู่ที่ 506.9 kg ซึ่งทำให้ระยะระหว่างจั้ดของโครงสร้างมีค่า 9.847 μm ซึ่งเป็นค่าที่อยู่ในเกณฑ์การออกแบบที่เหมาะสมที่สุด

Abstract

The purpose of this research is to optimize a high-speed machine structure by using Finite Element method. The machine operates at 1 g and is constructed from aluminum alloy type 7075 T6. The milling machine is used as the structure for analysis and design purposes. The structure is complex such that it is difficult to formulate a mathematical model. Therefore the cut-and-try method under constrain equations has been employed whereas the displacement be not exceed 10 μm and the stress within the

maximum allowable value. The aim of design is to minimize weight of the machine for reducing cost of materials.

From the experiment result, it can be concluded that the strongest structure configuration was the rectangular model with internal diagonal and external parallel ribs and 25 mm. thick, main and base structures. The total weight and displacement were 506.9 kg and 9.847 μm, respectively, being the appropriate value for optimum design.

บทนำ

อوبติไมต์เซชัน (Optimization Method) เป็นเครื่องมือทางคณิตศาสตร์ ที่มีจุดประสงค์เพื่อให้ได้ค่าที่เหมาะสมที่สุด ไม่ว่าจะเป็นค่าต่ำสุด หรือค่ามากสุด เช่นการลดน้ำหนักของเครื่องจักรให้ต่ำที่สุดโดยค่าความแข็งแรงคงยอมรับได้ , การคำนวณให้ไว้ค่าที่ต่ำที่สุด หรือการออกแบบให้ได้ระยะแอลเคน(deflection) ที่น้อยที่สุด เหล่านี้มีจุดประสงค์ให้ได้ค่าที่น้อยที่สุด ส่วนการออกแบบให้ได้ค่าที่มากที่สุด เช่น การออกแบบให้รับภาระ (Loading) ให้มากที่สุด , ความสามารถในการส่งผ่านกำลัง, ความสามารถในเรื่องความเร็ว เป็นต้น เป้าหมายหลักเพื่อเป็นการลดต้นทุนการผลิตให้ต่ำลง หรือให้คุ้มกับการลงทุนมากที่ซึ่งโครงสร้างของการออกแบบต้องมีค่าต่ำสุดหรือสูงสุด โดย $\{x\} = \{x_1, x_2, \dots, x_N\}$ ที่ทำให้ได้พังก์ชันมีค่าต่ำสุดหรือสูงสุด

$$f(x) \quad (1)$$

$$\text{ภาระได้เงื่อนไข } h_k = 0 \quad k = 1, \dots, K$$

$$g_i(x) \geq 0 \quad j = 1, \dots, J$$

$$x_i^U \geq x \geq x_i^L \quad i = 1, \dots, N$$

โดย $f(x)$ เป็น พังก์ชันเป้าประสงค์

$h_k = 0$ เป็นสมการบังคับ

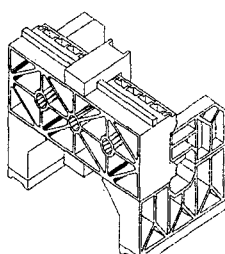
$g_i(x) \geq 0$ เป็นสมการของสมการบังคับ

$x_i^U \geq x \geq x_i^L$ เป็นการกำหนดช่วงหรือขอบเขตของตัวแปร

เรียกสมการและสมการห้องหมุดนี้ว่าปัญหาการอปติไม้ตแบบบังคับ (constrained optimization problem) มีงานวิจัยหลายงานได้นำวิธีนี้ไปใช้เพื่อหาค่าที่เหมาะสมที่สุดในงานนั้นๆ ดังตัวอย่างงานวิจัยของ Oda ,J. และ Yomaiichi ,R.[1] ทำการหารูปร่างที่เหมาะสมโดยใช้วิธีไฟไนต์เอลิเมนต์ และอยู่ภายใต้เงื่อนไขที่ค่าความแข็งแรงย้อมรับได้หรืองานวิจัยที่มีทฤษฎีต่างๆ มาประยุกต์เข้า งานวิจัยของ Hideyuki Azegami[2] อาศัยทฤษฎีการสร้างสมการที่สร้างขึ้นจากการเปลี่ยนแปลงลักษณะที่เพิ่มขึ้น เพื่อลดขนาดรูปร่างของงานให้น้อยที่สุดแต่ยังคงไว้ซึ่งความแข็งแรงและกำหนดให้มีขอบเขตในภาวะสติกซึ่งทำให้ค่านี้ขาดลดลง ส่วนงานวิจัยของ Yasushiko N.[3] ใช้การกำหนดเงื่อนไขขอบโดยรอบ เพื่อลดจำนวนโครงสร้างของเฟรมที่อยู่ภายใต้ภาระทำให้น้อยที่สุด โดยทำการคำนวณที่อคคลองห้อง 2 มิติและ 3 มิติ นอกเหนือนี้งานวิจัยอื่นที่สร้างสมการเพื่อลดตันทุนในการดำเนินการของเครื่องกัด^[4] ทำการลดตันทุนในการผลิตต่างๆ อย่างไรก็ตาม งานวิจัยดังกล่าว โครงสร้างของโมเดลเป็นรูปทรงที่ไม่ซับซ้อน สามารถคำนวณและสร้างเป็นสมการทางคณิตศาสตร์ได้ และสามารถนำมาวิเคราะห์หาจุดที่เหมาะสมได้ไม่ยากนัก ซึ่งในการออกแบบเพื่อใช้งานจริง โครงสร้างเครื่องจักรเป็นลักษณะที่ซับซ้อนและเป็นการยากที่จะสร้างสมการทางคณิตศาสตร์เพื่อวิเคราะห์ ดังนั้น จึงต้องอาศัยวิธีการอปติไม้ตเชิงวิธีอื่น ซึ่งแบ่งออกตามลักษณะของวิธีหาค่าเชิงวิธีที่ใช้ Topological Optimization)[5,6] เป็นวิธีการอปติไม้ตแบบอาศัยรูปภาพ ส่วนวิธีไฟไนต์เอลิเมนต์ ซึ่งมีหลักการคือการดึงเอาเอลิเมนต์ที่ไม่มีผลกระทบต่อแบบจำลองหรือมีผลน้อยออก จนได้ค่าของแบบจำลองที่น้อยที่สุด หรือ การอปติไม้ตเชิงแบบลองผิดลองถูก (Trial-and-error method) เป็นการหาค่าที่ดีที่สุดโดยการสุ่ม และการอปติไม้ตเชิงแบบตัดและทดลอง (Cut-and-try method) เป็นการอาศัยผลการทดลองที่ได้เป็นข้อบังคับในการหาค่าต่อไป จนได้ค่าที่ดีที่สุดในการออกแบบ

การออกแบบโครงสร้าง

ผู้วิจัยได้ใช้โครงสร้างเดิมของเครื่องกัดความเร็วสูงที่ผลิตในประเทศไทยรุ่นหนึ่ง ซึ่งมีความหนา(t) เท่ากับ 20 มิลลิเมตร มีรูปแบบดังรูปที่ 1



รูปที่ 1 แสดงภาพของแบบจำลองชนิดที่ 1

จากนั้นทำการวิเคราะห์โครงสร้างในโปรแกรมไฟไนต์เอลิเมนต์ โดยมีข้อสมมติฐานดังนี้

1. คุณสมบัติของวัสดุที่ใช้ในการวิเคราะห์ค่าเป็นแบบไฮโกรปีคและไฮโนเจนิส
2. ลักษณะของภาระที่กระทำต่อหัวกัดเป็นแบบค่าคงที่
3. แบบจำลองเป็นโครงสร้างเครื่องจักรความเร็วสูง คิดในสภาวะสติกซึ โดยกำหนดจุดที่ฐานของแบบจำลองหยุดนิ่ง (Displacement เท่ากับศูนย์)
4. โครงสร้างที่จำกัดอยู่ในรูปแบบค่าโมดูลลสของความยืดหยุ่น (E) เท่ากับ 72 GPa ค่าໂປ່ອງ (V) เท่ากับ 0.33 และความหนาแน่น เท่ากับ 2770 kg /m³ ส่วนหัวกัดทำจากเหล็ก มีค่าโมดูลลสของความยืดหยุ่น (E) เท่ากับ 200 GPa ค่าໂປ່ອງ (V) เท่ากับ 0.29 และความหนาแน่น เท่ากับ 7850 kg /m³
5. กำหนดลักษณะของแบบจำลองเครื่องจักรความเร็วสูง ดัง ตารางที่ 1

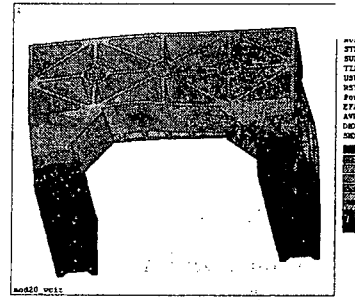
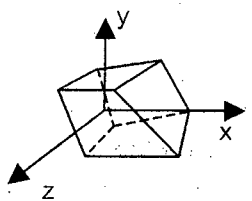
ตารางที่ 1 แสดงคุณลักษณะของแบบจำลองเครื่องจักร

ลักษณะข้อมูล	ค่า
การเคลื่อนที่	
● ตามแนวยาว Z	800 (mm)
● ตามแนวขวาง Y.	500 (mm)
● ตามแนวตั้ง X	500 (mm)
อัตราป้อน	
● ความเร็ว X-, Z- แกน	0 – 30,000 mm/min
Y- แกน	0 – 20,000 mm/min
● ความเร่ง X-, Y-, Z- แกน	9.8 m/s
อัตราเร็วหัวกัด	0-24000 rpm

6. กำหนดค่าระยะทางจัด (Displacement) ของโครงสร้างมีค่าไม่เกิน 10 มม

ทำการวิเคราะห์ด้วยโปรแกรมไฟไนต์เอลิเมนต์โดยการใช้อลิเมนต์แบบอิฐ 8 จุดข้า (Brick Element) แสดงดังรูปที่ 2 ซึ่งมีสมการรูปร่างเป็นดังสมการที่ 2 ทำการจับแบบอิสระ จำกันไม่ใช้ภาระของแรงกระทำ โดยการประมาณจากผลการทดลองเพื่อทำนายแรงที่ได้จากเครื่องกัดความเร็วสูง [7,8] ด้วยการทดสอบกับวัสดุต่างๆ และทดลองกับเครื่องกัดความเร็วในระดับปานกลาง[9,10] ซึ่งจากงานวิจัยพบว่าแรงสูงสุดมีค่าไม่เกิน 1000 N ดังนั้นจึงประมาณแรงได้เป็นดังสมการที่ 4 ซึ่งเป็นแรงทั้งแกน x,y และ z รวมทั้งแรงเนื่องจากโมเมนต์บิดของหัวกัดซึ่ง

มีค่าเท่ากับ 60 Nm และระยะระหว่างจุดที่ฐานมีค่าเท่ากับ 0 เนื่องจากพิจารณาในสภาวะสติติก ดังแสดงในรูปที่ 4



รูปที่ 4 แสดงระยะระหว่างจุดของโครงสร้างแบบที่ 1

รูปที่ 2 แสดงการกระจัดที่จุดข้อของเอลิเมนต์แบบอิฐ

$$(2) \quad \begin{aligned} \Psi_1 &= \frac{1}{8}(1+\xi)(1-\eta)(1+\zeta) & \Psi_2 &= \frac{1}{8}(1+\xi)(1+\eta)(1+\zeta) \\ \Psi_3 &= \frac{1}{8}(1-\xi)(1+\eta)(1+\zeta) & \Psi_4 &= \frac{1}{8}(1-\xi)(1+\eta)(1+\zeta) \\ \Psi_5 &= \frac{1}{8}(1+\xi)(1-\eta)(1-\zeta) & \Psi_6 &= \frac{1}{8}(1+\xi)(1+\eta)(1-\zeta) \\ \Psi_7 &= \frac{1}{8}(1-\xi)(1+\eta)(1-\zeta) & \Psi_8 &= \frac{1}{8}(1-\xi)(1-\eta)(1-\zeta) \end{aligned}$$

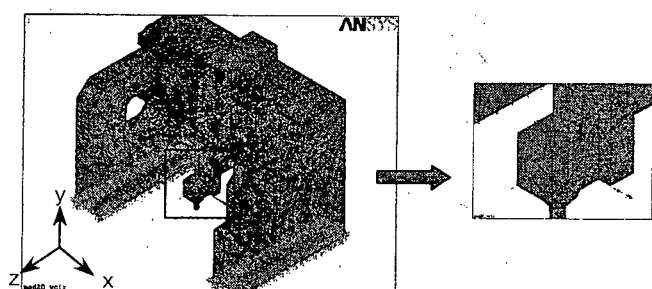
โดย Ψ_i เป็นพังก์ชันรูปร่างของเอลิเมนต์แบบ 8 จุดข้อ

$$\begin{aligned} F_u &= S^* F_p \\ &= 5 \times 1000 \\ &= 5000 \end{aligned} \quad (3)$$

โดย F_p เป็นแรงที่ได้จากการทดสอบ มีค่าเท่ากับ 1000 N

S เป็นค่าความปลดภัย ของโครงสร้างเครื่องจักรมีค่าเท่า 5

ผลการทดสอบพบว่ามีจำนวนเอลิเมนต์ $80,562$ เอลิเมนต์ และมีจำนวนจุดข้อเท่ากับ 22183 จุดข้อ ได้ระยะกระจัดเท่ากับ $13.705 \mu\text{m}$ และมีน้ำหนักของโครงสร้างเท่ากับ 442.04 kg ซึ่งเป็นค่าที่มากกว่ากำหนด ดังนั้นจึงต้องทำการปรับปรุงโครงสร้างต่อไป

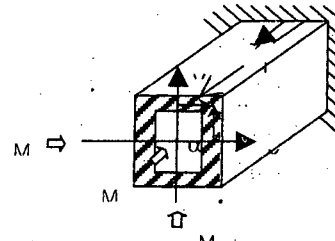


รูปที่ 3 แสดงการจับเอลิเมนต์แบบอิฐและภาระกระทำ

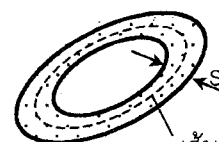
การปรับปรุงโครงสร้าง

ทำการเปลี่ยนแปลงโครงสร้างหลักของแบบจำลองโดยอาศัยทฤษฎีโมเมนต์ขั้นที่สองของพื้นที่และผลการทดสอบ[11] ซึ่งทำการทดสอบกับพื้นที่หน้าตัดแบบต่างๆ เพื่อทดสอบการต้านทานภาระโมเมนต์ พบว่า พื้นที่หน้าตัดแบบวงกลม และสี่เหลี่ยม มีค่าในการต้านทานที่สูงกว่าพื้นที่แบบอื่น อย่างไรก็ตามในทางปฏิบัติ หากพิจารณาถึงโครงสร้างทั้งหมดของแบบจำลองพบว่า โครงสร้างที่มีพื้นที่หน้าตัดแบบสี่เหลี่ยม จะง่ายต่อการสร้างมากกว่าพื้นที่แบบวงกลม จึงพิจารณาเลือกพื้นที่หน้าตัดแบบสี่เหลี่ยมเป็นหลัก

นอกจากนี้การเพิ่ม สัน ((Rib)) เป็นการเพิ่มความสามารถในการต้านทานภาระโมเมนต์ให้มาก เช่นกันโดยเฉพาะสันตามแนวทแยงมุมช่วยต้านทานภาระหงส่องได้มากที่สุด



รูปที่ 5. โมเมนต์ขั้นที่สองของพื้นที่รอบแกนหลัก



รูปที่ 6 แสดงพื้นที่หน้าตัดใดๆ ในสมการของเบรเดอร์

$$J_T = \frac{4A_m^2 s}{U_m} \quad (4)$$

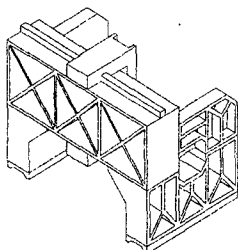
โดย J_T เป็นค่าต้านทานโมเมนต์บิด

A_m เป็นพื้นที่หน้าตัดตามเส้นกลวง

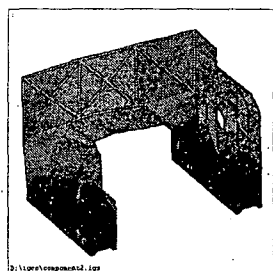
U_m เป็นความยาวของเส้นกลวง

t เป็นความหนาของพื้นที่

จากข้อมูลที่ได้ทั้งหมด สามารถออกแบบ แบบจำลองใหม่ในโปรแกรม Cad โดยกำหนดให้มีความหนา (*t*) เท่ากับแบบ原有ที่ 1 คือ 20 มิลลิเมตร ดังแสดงในรูปที่ 8 ซึ่งผลจากการวิจัยพบว่า มีจำนวนเฉลี่ย เมนต์เหลือ 53502 และจำนวนจุดข้าวเท่ากับ 16740 มีระยะระหว่างจัดเท่ากับ 15.223 μm มีน้ำหนักเท่ากับ 396.73 kg จะเห็นว่ามีน้ำหนักน้อยกว่า แบบที่หนึ่งถึง 46 kg แต่ระยะระหว่างจัดน้อยกว่า 1.5 μm ซึ่งเป็นการแสดงให้เห็นว่าโครงสร้างที่มีการปรับปรุงมีค่าในการด้านท่านภาระไมemenต์ได้ดีกว่า



รูปที่ 7 แสดงโครงสร้างที่ปรับปรุง



รูปที่ 8 แสดงผลการคำนวณของโครงสร้างที่ 2

จากการเพิ่มความหนาของโครงสร้างไปเรื่อยๆ จนได้ค่าที่ต้องการ ซึ่งหักลดต้องอยู่ภายใต้ขอบเขต สมการบังคับและผลจากการทดลองสามารถเขียนเป็นพังก์ชันของการออปติไมเซ็นได้เป็น

$$W = f(t_1, t_2; N_1, N_2) \\ \sigma < \sigma_{\max} \\ \delta \leq \delta_{\max}$$
(5)

W เป็นพังก์ชันเป้าประสงค์ที่ต้องการออปติไมเต็

*t*₁, *t*₂ เป็นความหนาของโครงสร้างหลักและฐาน

*N*₁ เป็นรูปแบบของโครงสร้างตามหลักทฤษฎีโมเมนต์ขั้นที่สองของพื้นที่และผลการทดลอง[11]

*N*₂ เป็นรูปแบบของโครงสร้างตามผลการทดลอง

σ เป็นความเค้นของโครงสร้าง

*σ*_{max} เป็นความเค้นสูงสุดของโครงสร้างเท่ากับ 500 MPa

δ เป็นระยะระหว่างจัดของโครงสร้าง

*δ*_{max} เป็นระยะระหว่างจัดสูงสุดของโครงสร้างเท่ากับ 10 μm ผลการทดลองหักลดสามารถแบ่งลักษณะโครงสร้างได้เป็น 3 ลักษณะคือ

โครงสร้างลักษณะที่ 1 เป็นโครงสร้างเดิมและที่ปรับปรุงด้วยการเพิ่มความหนาหักโครงสร้างหลักและฐานได้ผลดังนี้

โครงสร้าง ที่	น้ำหนัก (kg)	ระยะระหว่างจัด (μm)	ความเค้น (N/mm ²)
1 (<i>t</i> = 20)	442.04	13.705	4.452
2 (<i>t</i> = 20)	396.73	15.223	3.134
3 (<i>t</i> = 25)	458.87	12.285	2.725
4 (<i>t</i> = 30)	522.57	10.172	2.176
5 (<i>t</i> = 35)	583.98	8.966	1.499
6 (<i>t</i> = 40)	645.53	8.239	2.24

โครงสร้างลักษณะที่ 2 การเพิ่มความหนาหักโครงสร้างหลักและฐานแตกต่างกัน

โครงสร้าง ที่	น้ำหนัก (kg)	ระยะระหว่างจัด (μm)	ความเค้น (N/mm ²)
7 (<i>t</i> = 35,30)	552.93	9.5	1.56
8 (<i>t</i> = 40,25)	549.79	10.144	1.739

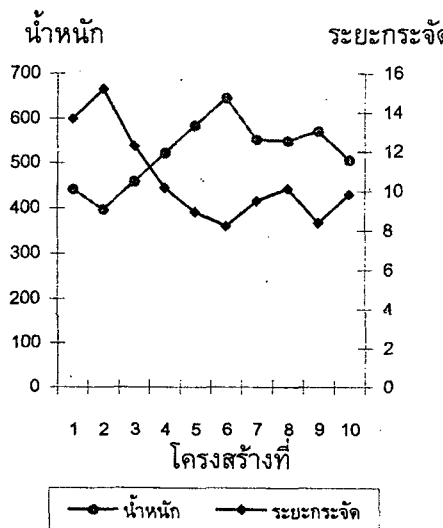
หมายเหตุ 35,30 คือโครงสร้างหลักหนา 35 mm.ฐานหนา 30

โครงสร้างลักษณะที่ 3 เพิ่มสันแนววางซึ่งมีลักษณะดังภาพที่ได้ผลดังตาราง

โครงสร้าง ที่	น้ำหนัก (kg)	ระยะระหว่างจัด (μm)	ความเค้น (N/mm ²)
9 (<i>t</i> =30,rib)	570.6	8.399	1.514
1 (<i>t</i> =25,rib)	506.9	9.847	1.666

การวิเคราะห์ผลการทดลอง

- โครงสร้างแบบที่ 2 เป็นโครงสร้างที่ได้ปรับขึ้นโดยอาศัยทฤษฎี ผลการทดลองและผลจากโครงสร้างแบบที่ 1 ซึ่งพบว่าโครงสร้างแบบที่ 2 มีระยะระหว่างจัดมากกว่าแบบที่ 1 เพียง 1.5 μm แต่มีน้ำหนักน้อยกว่าถึง 45.31 kg ทำให้หักล่างได้ร้าวได้มากกว่าโครงสร้างแบบที่ 2 มีความสามารถในการด้านท่านภาระเนื่องจากไมemenต์มากกว่าโครงสร้างแบบที่ 1 เมื่อพิจารณาความเค้นที่เกิดขึ้นสูงสุดนั้นพบว่า ส่วนล่างของโครงสร้างหลักจะมีค่าความเค้นสูงสุด และมีระยะระหว่างจัดที่มากที่สุดด้วย



รูปที่ 9 แสดงการเปรียบเทียบโครงสร้างทั้งหมด

2. โครงสร้างแบบที่ 3 ($t=25$) ความหนาเพิ่มขึ้น 5 มิลลิเมตรทั้งโครงสร้าง ทำให้น้ำหนักเพิ่มขึ้น 62 kg แต่ระยะระหว่างจั้ดลดลงถึง 3 μm ขณะเดียวกันเมื่อเปรียบเทียบกับโครงสร้างแบบที่ 1 มีน้ำหนักมากกว่า เพียง 16 kg แต่มีระยะระหว่างจั้ดที่ต่ำกว่า 1.5 μm ซึ่งก็เป็นการแสดงให้เห็นอย่างชัดเจนอีกทางหนึ่งว่าโครงสร้างที่ปรับขึ้นมีความสามารถในการด้านทนโน้มเน้นต์ได้ดีกว่าโครงสร้างเดิมจริง

3. โครงสร้างแบบที่ 4, 5 และ 6 พบว่าความเค้นสูงสุด และระยะระหว่างจั้ดที่มากที่สุด ก็เกิดขึ้นที่ ส่วนล่างของโครงสร้างหัวอยเช่นกัน

4. โครงสร้างแบบที่ 5 และ 6 เป็นโครงสร้างที่มีระยะระหว่างจั้ดน้อยกว่า 10 μm แต่โครงสร้างแบบที่ 5 เป็นโครงสร้างที่ดีที่สุดเนื่องจากมีน้ำหนักที่น้อยที่สุด

5. โครงสร้างแบบที่ 7 เกิดจากการปรับขนาดโครงสร้างที่ฐานของโครงสร้างที่ 5 ให้มีความหนาที่ฐานลดลงเหลือ 30 มิลลิเมตร พบร้า น้ำหนักลดลงไป 30 kg โดยที่ระยะระหว่างจั้ดยังคงไว้ได้

6. โครงสร้างแบบที่ 8 เกิดจากการปรับขนาดโครงสร้างที่ฐานของโครงสร้างที่ 6 ให้มีความหนาที่ฐานลดลงเหลือ 25 มิลลิเมตร พบร้า น้ำหนักลดลงไป 80 kg โดยที่ระยะระหว่างจั้ดมากกว่าค่าที่กำหนดเพียงเล็กน้อย

7. โครงสร้างที่ 7 และ 8 มีความเค้น และระยะระหว่างจั้ดสูงสุดที่ด้านล่างของโครงสร้างที่ดำเนินแห่งเดียวกับโครงสร้างอื่นๆ ด้วยเช่นกัน

8. เมื่อพิจารณาเปรียบเทียบกับโครงสร้างที่ 7 กับ 8 จะเห็นว่า น้ำหนักต่างกันเพียง 3 kg แต่โครงสร้างที่ 7 มีระยะระหว่างจั้ดที่ต่ำกว่า ดังนั้นโครงสร้างที่ 7 จึงเป็นโครงสร้างที่ดีกว่าโครงสร้างที่ 8 จึงไม่จำเป็นต้องพัฒนาโครงสร้างที่ 8

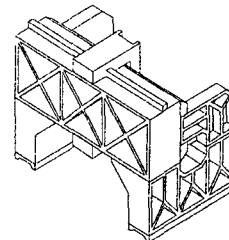
9. โครงสร้างแบบที่ 9 เป็นการเสริมความแข็งแรงให้กับโครงสร้างแบบที่ 4 ซึ่งมีระยะระหว่างจั้ดเกินกว่าค่าที่กำหนดไป 0.172 μm พบร้า ระยะระหว่างจั้ดเป็น 8.399 μm ต่ำกว่าเดิมเกือบ 2 μm น้ำหนักมากขึ้นกว่าเดิม 49 kg เป็นการแสดงให้เห็นว่าการเพิ่มสัน (rib) ช่วยด้านทานโน้มเน้นต์ได้มากเช่นกัน

10. โครงสร้างแบบที่ 10 เป็นการเสริมความแข็งแรงให้กับโครงสร้างแบบที่ 3 พบว่ามีระยะระหว่างจั้ดเป็น 9.847 μm น้ำหนักที่ 506.9 49 kg

11. โครงสร้างแบบที่ 9 และ 10 มีความเค้นและระยะระหว่างจั้ดสูงสุดที่ด้านล่าง เอี้ยวไปทางสันของล่าง ซึ่งจากภาพเป็นการแสดงอิทธิพลของสัน ที่มีผลต่อการด้านทานโน้มเน้นต์ของโครงสร้าง

12. โครงสร้างแบบที่ 10 และ 9 มีระยะระหว่างจั้ดที่ต่ำกว่าที่กำหนดแต่โครงสร้างแบบที่ 10 มีน้ำหนักน้อยกว่า จึงถือว่าเป็นโครงสร้างที่ดีกว่า

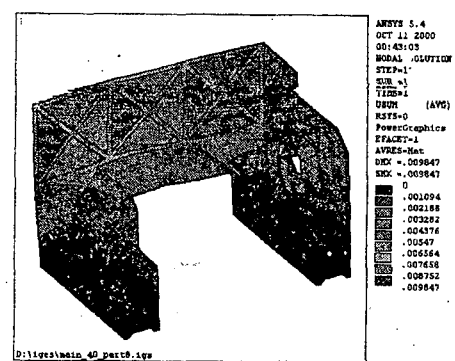
13. นำผลการวิจัยทั้งหมด เบียนเป็นกราฟแสดงดังรูปที่ 9 และเมื่อพิจารณาถึงระยะระหว่างจั้ดที่มีค่าต่ำกว่า 10 μm ได้แก่โครงสร้างที่ 5, 6, 7, 9 และ 10 ซึ่งจะเห็นว่าโครงสร้างที่มีน้ำหนักน้อยที่สุดคือโครงสร้างที่ 10 จึงเป็นโครงสร้างที่เหมาะสมที่สุดด้วย



รูปที่ 11 แสดงโครงสร้างที่เหมาะสมที่สุด

สรุปผลการทดลอง

จากการวิจัยสรุปได้ว่า โครงสร้างที่แข็งแรงที่สุดควรเป็นโครงสร้างที่เหลี่ยมผืนผ้าที่มีสันภายในเป็นแนวทางเดียว โครงสร้างหลักและฐาน ควรมีความหนาเทาๆ กัน และมีขอบสันด้านนอกเป็นแนวทางเดียว และจาก การคำนวณโครงสร้างแบบดังกล่าว พบว่าโครงสร้างมีความแข็งแรงมากกว่าแบบที่มีมวลเพียง 506.9 kg และมีระยะระหว่างจั้ดอยู่ในช่วง 0.09847 μm กำหนดคือ 9.847 μm



รูปที่ 12 แสดงระยะระหว่างจั้ดของโครงสร้างที่เหมาะสมที่สุด

เอกสารอ้างอิง

- [1] Oda, J. and Yamazaki, K. "On a Technique to Obtain an Optimum Strength Shape by the Finite Element Method." JSME International Journal . 22 (1979) :131

- [2] Hideyuki, A. "A Proposal of a shape-Optimization Method Using a Constitutive Equation of Growth" (In case of a static elastic body) " JSME Internation Journal. 33 (1990): 64-71.
 - [3] Yasuhiko, N. and Shigueru, N. "Optimization of Frame Topology Using Boundary Cycle and Genetic Algorithm" JSME Internation Journal Serie A , 39 (1996)
 - [4] Tolouei-Rad,M. "On the optimization of machining parameters for milling operations." International Journal machine tool and manufacturing. 37 (1997) : 1-16.
 - [5] Bennett Wallander. "Topological Optimization The Conceptual Design Tool." Ansys,Inc.
 - [6] Hosam Ali. "Optimization for finite element applications." Mechanical Engineering (1994) :68-70.
 - [7] Kuang-Hua Fuh ; Ren-Ming Hwang. "A predicted Milling force model for high-speed end milling operation." International Journal machine tool & manufacturing 37 (1997) : 969-979.
 - [8] Robert I. King. Handbook of high speed machine technology. New York : Chapman and Hall, 1985.
 - [9] Young Hong-Tsu ; P. Mathew. "Predicting cutting forces in face milling." International Journal machine tool and manufacturing 34 (1994) :771-783
-
- [10] Yung C. Shin. "A new procedure to determine instantaneous cutting force coefficints for machining force prediction." International Journal machine tool and manufacturing 37 (1997) : 1337-1351.
 - [11] Manfred Weck. Handbook of Machine tools volume 2, Construction and Mathematical Analysis. Great Britain : John Wiley & Sons, 1984.